

Z \rightarrow 3 γ 及相关过程的解析手征振幅 和极化矢量的讨论 *

勾亮 东方晓 周咸建
(中国科学院高能物理研究所 北京 100039)

摘要 给出了 Z \rightarrow 3 γ 及相关过程的解析手征振幅. 结果与 Glover 等的结果不同, 虽然手征振幅的这种差别并不影响总几率的计算, 但它有直接的物理意义, 并可为实验检验. 同时对极化矢量的定义进行了讨论, 并指出 Glover 文章之错误.

关键词 手征振幅 极化矢量 标准模型

Z \rightarrow 3 γ 是 Z 介子的稀有衰变. 由于杨氏定理, Z 介子不能衰变到双光子. Z 介子衰变到 3 个光子, 没有树图贡献, 最低级的贡献来自单圈图. 随着加速器技术的发展, 获得高能量高亮度的光子束将成为可能, 因此观察到 $\gamma\gamma\rightarrow\gamma\gamma$, $\gamma\gamma\rightarrow Z\gamma$, 这种小截面过程也将成为现实, 也越来越受到人们的重视. 近来, Z \rightarrow 3 γ 也受到人们的广泛的研究. 费米子圈图贡献 80 年代就有人研究过^[1,2]. 除了费米子圈图外, 在标准模型中, 还有 W $^\pm$ 介子圈图贡献^[3-8]. 这种圈图贡献可以检验标准电弱模型的非阿贝尔性质. 比如可以检验三顶角 (WW γ 和 WWZ) 和四顶角 (WW $\gamma\gamma$ 和 WW γZ) 耦合. 对于非标准模型, 还存在标量带电介子圈图贡献^[9].

我们知道, Z \rightarrow 3 γ 衰变与 $\gamma\gamma$ 散射两过程密切相关. 在我们早期的文章中^[3-5], 给出了 $\gamma\gamma$ 散射和 Z \rightarrow 3 γ 的极化张量, 那时用的是线性 R_ξ 规范. 本文将用非线性 R_ξ 规范, 讨论 Z \rightarrow 3 γ 衰变与 $\gamma\gamma\rightarrow\gamma Z$ 和 $\gamma Z\rightarrow\gamma\gamma$ 散射过程之间手征振幅的关系. 我们首先给出 Z \rightarrow 3 γ 衰变的手征振幅的解析表达式, 发现得到的 Z \rightarrow 3 γ 手征振幅与文献[12]的结果是不相同的. 虽然这种差别并不影响 Z \rightarrow 3 γ 的总衰变宽度, 但是它们是有不同的物理意义的, 并且可被将来的实验检验的.

首先讨论 Z \rightarrow 3 γ 衰变过程, 引入下面非线性规范固定项^[10]:

$$L_{nl}^{GF} = -\xi^{-1} |(\partial_\mu - ieA_\mu - ig'Z_\mu)W_\mu^+ - i\xi M_W \phi^+|^2, \quad (1)$$

它保持 U(1)_{em} 规范不变. 这里 M_W 是 W 介子质量, $g' = -g_2 \cos\theta_W$, g_2 是 SU(2) 群耦合常数, θ_W 是 Weinberg 角, 我们选用't Hooft-Feynman 规范, 即 $\xi = 1$. 这样选的一个好处是衰变过程的费曼图简单. 对于 Z \rightarrow 3 γ 衰变, 在这种规范选择下, 只有三类圈图: W

1999-05-31 收稿, 2000-04-28 收修改稿

* 国家自然科学基金资助(19875057)

介子圈图、带电标量介子圈图和鬼粒子圈图,当然还有费米子圈图,如图 1 所示.

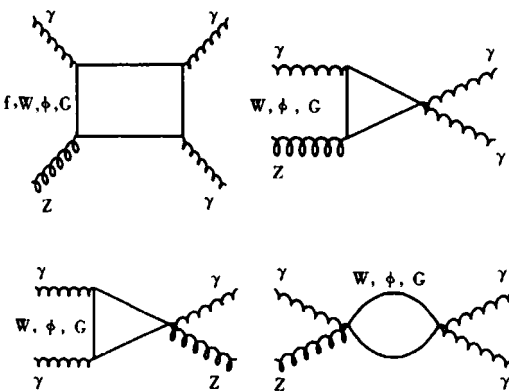


图 1 $Z \rightarrow 3\gamma$ 衰变过程费曼图

ω, ϕ, G 和 f 分别代表 W 介子, 带电标量介子, 鬼粒子和费米子内线.

用 $k^{(i)}$ ($i=1, 2, 3$) 表示 3 个光子的动量, $k^{(4)}$ 表示 Z 介子的动量. 为了使过程的四阶极化张量具有最大的对称性, 假定费曼图上的 4 个外动量, $k^{(i)}$ ($i=1, 2, 3, 4$), 都是入射的. 这样过程的能量 - 动量守恒为

$$k^{(1)} + k^{(2)} + k^{(3)} + k^{(4)} = 0. \quad (2)$$

为了定义过程的手征振幅, 首先引入矢量粒子的极化矢量. 通常教科书中引入的极化矢量, 是在特殊参考系下定义的. 例如通常取粒子的横向极化矢量(e_i)与该粒子的动量(k)成右手系, 如图 2 所示.

在这里引入不依赖参考系选择的协变的极化矢量^[11]. 令 $\epsilon_\mu(\lambda_i)$ ($i=1, 2, 3, 4$) 分别代表 3 个光子和 Z 介子的圆极化矢量, 因为 Z 介子的质量不为零, 所以 Z 介子还有纵向极化矢量, 用 $\epsilon_\mu(\lambda_4=0)$ 代表:

$$\begin{aligned} \epsilon_\mu(\lambda_1) &= U_{1\mu}(\lambda_1), \\ \epsilon_\nu(\lambda_2) &= U_{1\nu}(-\lambda_2), \quad \lambda_i = \pm 1, \\ \epsilon_\rho(\lambda_3) &= U_{2\rho}(-\lambda_3), \\ \epsilon_\alpha(\lambda_4) &= U_{2\alpha}(\lambda_4), \\ \epsilon_\alpha(\lambda_4=0) &= \frac{1}{M_Z} \left\{ \left[1 + \frac{2(k^{(1)} \cdot k^{(2)})}{(k^{(1)} \cdot k^{(3)}) + (k^{(2)} \cdot k^{(3)})} \right] k_a^{(3)} - k_a^{(1)} - k_a^{(2)} \right\}, \end{aligned} \quad (3)$$

其中

$$\begin{aligned} U_{1\mu}(\lambda) &= G_1(i\chi_\mu + \lambda\Sigma_{1\mu}), \\ U_{2\mu}(\lambda) &= C_1(i\chi_\mu + \lambda\Sigma_{2\mu}), \\ \chi_\mu &= \epsilon_{\mu\nu\rho} k^{(1)\nu} k^{(2)\rho} k^{(3)\sigma}, \quad \epsilon_{0123} = 1, \\ \Sigma_{1\mu} &= (k^{(1)} \cdot k^{(3)}) k_\mu^{(2)} + (k^{(2)} \cdot k^{(3)}) k_\mu^{(1)} - (k^{(1)} \cdot k^{(2)}) k_\mu^{(3)} \\ \Sigma_{2\mu} &= (k^{(1)} \cdot k^{(3)}) k_\mu^{(2)} - (k^{(2)} \cdot k^{(3)}) k_\mu^{(1)} + \end{aligned}$$

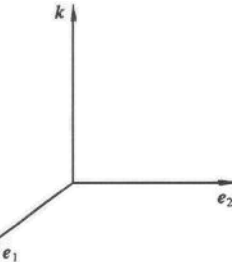


图 2 横向极化矢量 e_1, e_2 和粒子的动量 r 构成右手系

$$(k^{(1)} \cdot k^{(2)}) \left[1 - \frac{2(k^{(1)} \cdot k^{(3)})}{(k^{(2)} \cdot k^{(3)}) + (k^{(1)} \cdot k^{(3)})} \right] k_\mu^{(3)} \\ C_1 = \frac{i}{4M^3 \sqrt{2stu}}. \quad (4)$$

在这里还要引入4个无量纲的量 s, t, u 和 a

$$s = \frac{k^{(1)} \cdot k^{(2)}}{2M^2}, \quad t = \frac{k^{(2)} \cdot k^{(3)}}{2M^2}, \\ u = \frac{k^{(1)} \cdot k^{(3)}}{2M^2}, \quad a = \frac{M_z^2}{4M^2}, \quad (5)$$

其中 M_z 是 Z 介子质量, M 是圈图内线粒子质量, 对 W 介子圈图 $M = M_W$, 对带电标量介子圈图 $M = M_\pm$, 对费米子圈图, $M = M_f$.

$Z \rightarrow 3\gamma$ 衰变过程的手征振幅由下式给出:

$$M_{\lambda_1 \lambda_2 \lambda_3 \lambda_4} = \epsilon_\mu(\lambda_1) \epsilon_\nu(\lambda_2) \epsilon_\rho(\lambda_3) \epsilon_\sigma(\lambda_4) G^{\mu\nu\rho\sigma}(k^{(1)}, k^{(2)}, k^{(3)}), \quad (6)$$

其中 G 是过程的四阶极化张量. 由于能量动量守恒的限制, G 只依赖 3 个光子的动量. 四阶极化张量的最一般形式应包括 81 项 $k_\mu^{(i)} k_\nu^{(j)} k_\rho^{(k)} k_a^{(l)}$, 54 项 $k_\mu^{(i)} k_\nu^{(j)} g^{\mu\rho}$ 和 3 项 $g^{\mu\rho} g^{\nu\sigma}$. 四阶极化张量满足规范不变要求,

$$k_\mu^{(1)} G^{\mu\nu\rho\sigma}(k^{(1)}, k^{(2)}, k^{(3)}) = k_\nu^{(2)} G^{\mu\nu\rho\sigma}(k^{(1)}, k^{(2)}, k^{(3)}) = k_\mu^{(3)} G^{\mu\nu\rho\sigma}(k^{(1)}, k^{(2)}, k^{(3)}) = 0, \quad (7)$$

(7)式在非线性 R_ϵ 规范下成立, 在线性 R_ϵ 规范下不成立^[4], 而(7)式将极大简化四阶极化张量的计算

$$G^{\mu\nu\rho\sigma}(k^{(1)}, k^{(2)}, k^{(3)}) = \sum_{\text{perm}} \left\{ A_1(k^{(1)}, k^{(2)}, k^{(3)}) \left(\frac{k^{(3)\mu} k^{(1)\rho}}{k^{(1)} \cdot k^{(3)}} - g^{\mu\rho} \right) k^{(1)\sigma} \right. \\ \left. \left(\frac{k^{(3)\nu}}{k^{(2)} \cdot k^{(3)}} - \frac{k^{(1)\nu}}{k^{(1)} \cdot k^{(2)}} \right) / (k^{(1)} \cdot k^{(3)}) + A_2(k^{(1)}, k^{(2)}, k^{(3)}) \right. \\ \left. \left[\frac{1}{k^{(2)} \cdot k^{(3)}} \left(\frac{k^{(1)a} k^{(3)\mu}}{k^{(1)} \cdot k^{(3)}} - g^{\mu\mu} \right) \left(\frac{k^{(1)\nu} k^{(2)\rho}}{k^{(1)} \cdot k^{(2)}} - g^{\nu\rho} \right) + \right. \right. \\ \left. \left. \frac{1}{k^{(1)} \cdot k^{(3)}} \left(\frac{k^{(1)\nu}}{k^{(1)} \cdot k^{(2)}} - \frac{k^{(3)\nu}}{k^{(2)} \cdot k^{(3)}} \right) (k^{(1)\rho} g^{\mu\mu} - k^{(1)a} g^{\mu\rho}) \right] + \right. \\ \left. A_3(k^{(1)}, k^{(2)}, k^{(3)}) \left(\frac{k^{(1)a} k^{(3)\mu}}{k^{(1)} \cdot k^{(3)}} - g^{\mu\mu} \right) \left(\frac{k^{(3)\nu} k^{(2)\rho}}{k^{(2)} \cdot k^{(3)}} - g^{\nu\rho} \right) / (k^{(1)} \cdot k^{(3)}) \right\}, \quad (8)$$

其中 Σ_{perm} 代表对 3 个光子动量连带它们的角标的 6 种不同排列求和. 3 个洛伦兹标量函数 A_i 有来自费米子, W 介子和带电物理标量介子 3 种圈图的贡献.

$$A_i(k^{(1)}, k^{(2)}, k^{(3)}) = A_i(s, t) = \\ \frac{e^3 g z}{16\pi^2} \left\{ \cos^2 \theta_w A_i^b(s, t) + \sum_f q_f^3 v_f A_i^f(s, t) - \frac{\cos 2\theta_w}{2} A_i^*(s, t) \right\}, \quad (9)$$

式中 \sum_f 代表对质量为 M_f 电荷为 q_f 的费米子求和, θ_w 是 Weinberg 角.

$$g_z = e(M_z) / (\sin \theta_w \cos \theta_w), \\ v_f = T_3^f / 2 - q_f \sin^2 \theta_w, \quad (10)$$

式中 $e(M_Z)$ 是电荷 e 在质量标度 M_Z 处的值。 $T_3^f = \frac{1}{2}, -\frac{1}{2}, -1$ 分别对于上夸克 ($q_f = 2/3$)、下夸克 ($q_f = -1/3$) 和带电轻子 ($q_f = -1$)。

利用 MATHEMATICA 得到了所有标量函数 A_i^b, A_i^f 和 A_i^\dagger [7, 9]，并发现它们有下述关系：

$$\begin{aligned} A_i^b(s, t) &= \frac{M_w^2}{M_f^2}(a - 3/2)A_i^f(s, t) + B_i^b(s, t), \\ A_i^\dagger(s, t) &= \frac{1}{2} \frac{M_\dagger^2}{M_f^2} A_i^f(s, t) + B_i^\dagger(s, t), \end{aligned} \quad (11)$$

其中

$$\begin{aligned} B_1^b(s, t) &= 0, & B_1^\dagger(s, t) &= 0, \\ B_2^b(s, t) &= 16M_w^2 \{ [5 + 2a][T(t) + T(u) - T(a)]tu/(2s) + \\ &\quad (6s - 2t - 2u - 5)[uI(s, t, a) + tI(s, u, a)]/(4s) + \\ &\quad (-5s + 6s^2 - 2st - 2su - 10tu - 4stu - 4t^2u - 4tu^2)I(t, u, a)/(4s) \}, \\ B_3^b(s, t) &= 16M_w^2 \{ (5t^2 + 2st^2 + 2t^3 + 2t^2u - 5u^2 - 2su^2 - 2tu^2 - 2u^3) \\ &\quad [T(a) - T(s)]/(2t) + \left[\frac{5}{2} + a \right] tu^2 \left[\frac{T(u)}{t^2} - \frac{T(t)}{u^2} \right] + (10st^2 + 4s^2t^2 + 4st^3 + 5tu + \\ &\quad 2stu + 2t^2u + 4st^2u - 5u^2 - 2su^2 - 2u^3)I(s, t, a)/(4st) + \\ &\quad (5t^2 + 2st^2 + 2t^3 - 5tu - 2stu - 10su^2 - 4s^2u^2 - 2tu^2 - 4stu^2 - \\ &\quad 4su^3)I(s, u, a)/(4st) + (5t + 2st + 2t^2 - 5u - 2su - 2u^2)I(t, u, a)/(4t) \}, \\ B_2^\dagger(s, t) &= 16M_\dagger^2 \{ -uI(s, t, a)/(4s) - tI(s, u, a)/(4s) - \\ &\quad (s + 2tu)I(t, u, a)/(4s) + tuT(u)/(2s) + \\ &\quad (tu^3 + s^2tu + 2stu^2)[T(t) - T(a)]/[2s(s + u)^2] \}, \\ B_3^\dagger(s, t) &= 16M_\dagger^2 \{ (2st^2 + tu - u^2)I(s, t, a)/(4st) + \\ &\quad (t^2 - tu - 2su^2)I(s, u, a)/(4st) + \\ &\quad (t - u)I(t, u, a)/(4t) + (t^2 - u^2)[T(a) - T(s) - T(u)]/(2t) \}, \end{aligned} \quad (12)$$

上式中两个超越函数 $T(x)$ 和 $I(x, y, a)$ 由文献[7]的附录 C 给出。手征振幅, $M_{\lambda_1 \lambda_2 \lambda_3 \lambda_4}$, 总共有 24 个, 考虑到关系式

$$M_{\lambda_1 \lambda_2 \lambda_3 \lambda_4} = M_{-\lambda_1 - \lambda_2 - \lambda_3 - \lambda_4} \quad (13)$$

独立手征振幅个数减少到 12 个。再由于存在下述关系

$$\begin{aligned} M_{-++-}(s, t, u) &= M_{-++-}(s, u, t), \\ M_{-+-+}(s, t, u) &= M_{-++-}(s, u, t), \\ M_{-+-0}(s, t, u) &= M_{-++0}(s, u, t). \end{aligned} \quad (14)$$

这样独立手征振幅最后只剩下 9 个:

$$\begin{aligned} M_{----} &= \frac{1}{2M^2} \left\{ -\frac{A_1(t, u)}{(t + u)} + \frac{A_2(s, t) + A_2(u, t) + A_3(u, s)}{t} + (t \leftrightarrow u) \right\}, \\ M_{--+-} &= \frac{A_1(t, u) + A_1(u, t)}{2M^2(t + u)}, \end{aligned}$$

$$\begin{aligned}
M_{-++} &= \frac{1}{2M^2} \left\{ \frac{-A_1(s,t) + A_1(u,t) + A_2(s,t) - A_2(u,t)}{(t+u)} + \right. \\
&\quad \left. \frac{A_3(s,t)}{u} + \frac{uA_3(u,t)}{s(t+u)} + (t \leftrightarrow u) \right\}, \\
M_{---} &= \frac{1}{2M^2} \left\{ \frac{A_1(s,t) - A_1(u,t) - A_2(s,t) + A_2(u,t)}{(t+u)} + \frac{A_3(t,s)}{u} + \right. \\
&\quad \left. \frac{tA_3(u,t)}{s(t+u)} + (t \leftrightarrow u) \right\}, \\
M_{-+++} &= \frac{1}{2M^2} \left\{ \frac{-A_1(s,u) + A_2(s,u) + A_2(t,u)}{(t+u)} + \frac{A_2(t,s) + A_2(u,s)}{s} + \right. \\
&\quad \left. \frac{A_3(s,t)}{u} + \frac{uA_3(u,t)}{s(t+u)} \right\}, \\
M_{-++-} &= \frac{1}{2M^2} \left\{ \frac{A_1(s,u)}{(t+u)} + \frac{t[A_2(s,u) + A_2(t,u)]}{u(t+u)} + \frac{tA_3(u,t)}{s(t+u)} \right\}, \\
M_{-++0} &= \frac{1}{4M^3 M_z} \sqrt{\frac{-2}{stu}} \left\{ \frac{4M^2 su - tM_z^2}{2(t+u)} A_1(t,u) - \right. \\
&\quad \left. 2M^2 s [A_2(s,u) + A_2(t,u)] - 2M^2 \frac{su}{t} A_3(u,s) - (t \leftrightarrow u) \right\}, \\
M_{--0} &= \frac{1}{4M^3 M_z} \sqrt{\frac{-2}{stu}} \left\{ \frac{4M^2 su - tM_z^2}{2(t+u)} [A_1(s,u) - A_1(t,u) + A_2(t,u) - A_2(s,u)] + \right. \\
&\quad 2M^2 (t+u) [A_1(t,s) - A_2(t,s)] + \frac{2M^2 st}{u} [A_3(s,t) - A_3(t,s)] + \\
&\quad \left. \frac{tu(2M^2 s + M_z^2/2)}{s(t+u)} A_3(u,t) - (t \leftrightarrow u) \right\}, \\
M_{-++0} &= \frac{1}{4M^3 M_z} \sqrt{\frac{-2}{stu}} \left\{ \frac{4M^2 su - tM_z^2}{2(t+u)} A_1(s,u) - 2M^2 (t+u) A_1(u,s) + \right. \\
&\quad \frac{t(2M^2 s + M_z^2/2)}{(t+u)} [A_2(s,u) + A_2(t,u)] + 2M^2 t [A_2(t,s) + A_2(u,s)] + \\
&\quad \left. \frac{2M^2 st}{u} A_3(s,t) + \frac{tu(2M^2 s + M_z^2/2)}{s(t+u)} A_3(u,t) \right\}. \tag{15}
\end{aligned}$$

把上面结果与文献[12]的(22)和(23)式进行比较,发现:

$$M_{\lambda_1 \lambda_2 \lambda_3 \lambda_4} = J_{-\lambda-\lambda_2 \lambda_3 \lambda_4}, M_{\lambda_1 \lambda_2 \lambda_3 0} = -J_{-\lambda_1-\lambda_2 \lambda_3 0}, \tag{16}$$

上式右端的 J 是文献[12]中 $Z \rightarrow 3\gamma$ 衰变的手征振幅. 这说明两者在第一和第二两光子的极化方向是不相同的. 比如, $M_{-++0} = J_{-+++}$, M_{-++-} 代表右手极化 (+) 的 Z 介子衰变到 3 个光子的手征振幅, 其中一个光子为右手极化 (+), 两个光子为左手极化 (-); 而 J_{-+++} 代表极化为 (+) 的 Z 介子衰变到 3 个光子极化都为 (+) 的手征振幅. 这两者物理意义是不同的,而且将来实验可以检验.

极化矢量为右旋 (+) 或左旋 (-) 的定义与粒子是入射还是出射有关^[13]. 根据文献[13], 在费曼图上,对于入射粒子,其左右旋极化矢量定义为

$$\hat{\epsilon}(+) = \frac{1}{\sqrt{2}}(\hat{e}_1 + i\hat{e}_2), \quad \hat{\epsilon}(-) = \frac{1}{\sqrt{2}}(\hat{e}_1 - i\hat{e}_2). \quad (17)$$

而对于出射粒子,其左右旋极化矢量定义为

$$\hat{\epsilon}(+) = \frac{1}{\sqrt{2}}(\hat{e}_1 - i\hat{e}_2), \quad \hat{\epsilon}(-) = \frac{1}{\sqrt{2}}(\hat{e}_1 + i\hat{e}_2), \quad (18)$$

其中 \hat{e}_1, \hat{e}_2 是粒子的横向极化矢量,并与粒子的动量 k 构成右手系,见图(2),以(17)和(18)式为标准判断,文献[12]的(20)式显然有误.

本文引入的极化矢量(3)和(4)式是协变的,与坐标系选择无关.在特殊参考系下,它又可以化为通常教科书中定义的形式.比如,我们取第一、第二光子质心系,即令 $k^{(1)} = -k^{(2)}$.那么(3)式和(4)式便可化为教科书中圆极化形式,

$$\begin{aligned}\epsilon(\lambda_1) &= C_2(e_1 - i\lambda_1 e_2), \quad \epsilon(\lambda_2) = C_2(e_1 + i\lambda_2 e_2), \\ \epsilon(\lambda_3) &= C_2(e_1 + i\lambda_3 e_2), \quad \epsilon(\lambda_4) = C_2(e_1 - i\lambda_4 e_2),\end{aligned}\quad (19)$$

式中

$$\begin{aligned}e_1 &= \hat{k}^{(1)} \times \hat{k}^{(3)}, \quad \hat{k}^{(i)} = \frac{\mathbf{k}^{(i)}}{|\mathbf{k}^{(i)}|} \\ e_2 &= \hat{k}_{\perp}^{(3)}, \quad C_2 = \frac{-|\mathbf{k}^{(1)}|^2 |\mathbf{k}^{(2)}|}{2M^3 \sqrt{2stu}}, \\ e'_2 &= \hat{k}_{\perp}^{(1)},\end{aligned}$$

从图3可以看到,(19)式显然符合(17),(18)式之标准.

现在讨论 $\gamma\gamma \rightarrow \gamma Z$ 散射过程.我们知道, $\gamma\gamma \rightarrow \gamma Z$ 散射过程与 $Z \rightarrow 3\gamma$ 衰变是密切相关的.它仍可用图1中的费曼图来描述.如果用 $k^{(1)}$ 和 $k^{(2)}$ 代表两个人射光子动量,而 $k^{(3)}$ 和 $k^{(4)}$ 分别代表出射光子及 Z 介子动量.同样理由,为了使过程有最大对称性,费曼图上的4个外动量仍假定都是入射的.那么过程的四阶极化张量仍可用(8)式来定义.只是过程的极化矢量相对(3)式要作如下变化:

$$\begin{aligned}\epsilon_{\mu}(\lambda_1) &= U_{1\mu}(-\lambda_1), \quad \epsilon_{\nu}(\lambda_2) = U_{1\nu}(\lambda_2), \\ \epsilon_{\rho}(\lambda_3) &= U_{2\rho}(-\lambda_3), \quad \epsilon_{\sigma}(\lambda_4) = U_{2\sigma}(\lambda_4), \\ \epsilon_a(\lambda_4 = 0) &= 1/M_Z \left\{ \left[1 + \frac{2(k^{(1)} \cdot k^{(2)})}{k^{(1)} \cdot k^{(3)} + k^{(2)} \cdot k^{(3)}} \right] \times \right. \\ &\quad \left. k_a^{(3)} - k_a^{(1)} - k_a^{(2)} \right\}. \quad (20)\end{aligned}$$

利用(8)和(20)式, $\gamma\gamma \rightarrow \gamma Z$ 散射过程的手征振幅为,

$$\begin{aligned}M_{\lambda_1 \lambda_2 \lambda_3 \lambda_4}^{\gamma\gamma \rightarrow \gamma Z} &= U_{1\mu}(-\lambda_1) U_{1\nu}(\lambda_2) U_{2\rho}(-\lambda_3) \\ &\quad U_{2\sigma}(\lambda_4) G^{\mu\nu\rho\sigma}(k^{(1)}, k^{(2)}, k^{(3)}),\end{aligned}\quad (21)$$

把(21)式与(6)式比较,发现 $\gamma\gamma \rightarrow \gamma Z$ 散射过程的手征振幅与 $Z \rightarrow 3\gamma$ 衰变过程的手征振幅有如下关系:

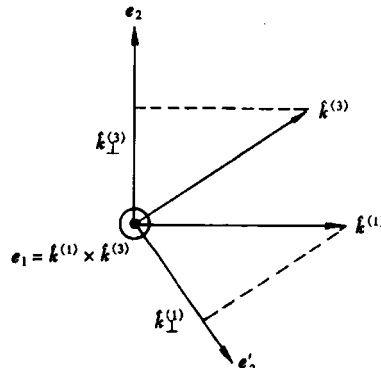


图3 极化矢量图

⑤代表 $\epsilon_1 = k^{(1)} \times k^{(3)}$ 垂直于 $k^{(1)} - k^{(3)}$ 平面,
即垂直于纸面,箭头向外. $\epsilon_2 = k_{\perp}^{(3)}$ 和
 $\epsilon'_2 = k_{\perp}^{(1)}$ 都在 $k^{(1)} - k^{(3)}$ 平面内.
这样, ϵ_1, ϵ_2 和 $-k^{(1)}$ 构成右手系,
 ϵ_1, ϵ'_2 和 $k^{(3)}$ 也构成右手系.

$$M_{\lambda_1 \lambda_2 \lambda_3 \lambda_4}^{\gamma\gamma \rightarrow \gamma Z} = M_{-\lambda_1 - \lambda_2 - \lambda_3 - \lambda_4}^{\gamma Z \rightarrow \gamma\gamma}, \quad \lambda_i = \pm 1, i = 1, 2, 3, 4, \quad (22)$$

现在讨论 $\gamma Z \rightarrow \gamma\gamma$ 过程。如果用 $k^{(1)}$ 和 $k^{(2)}$ 分别代表两个出射光子的动量, 用 $k^{(3)}$ 和 $k^{(4)}$ 分别代表入射光子和 Z 介子的动量。该过程的费曼图仍为图 1 所示, 并假定 4 个外动量都是入射的。很明显, $\gamma Z \rightarrow \gamma\gamma$ 是 $\gamma\gamma \rightarrow \gamma Z$ 的逆过程, 因此, 它们的手征振幅有如下关系

$$M_{\lambda_1 \lambda_2 \lambda_3 \lambda_4}^{\gamma\gamma \rightarrow \gamma Z} = M_{-\lambda_1 - \lambda_2 - \lambda_3 - \lambda_4}^{\gamma Z \rightarrow \gamma\gamma}, \quad \lambda_4 = \pm 1, 0. \quad (23)$$

那么, 从(22)式可知, $\gamma Z \rightarrow \gamma\gamma$ 散射过程的手征振幅与 $Z \rightarrow 3\gamma$ 衰变过程的手征幅的关系是

$$M_{\lambda_1 \lambda_2 \lambda_3 \lambda_4}^{\gamma Z \rightarrow \gamma\gamma} = M_{\lambda_1 \lambda_2 - \lambda_3 - \lambda_4} \quad \lambda_4 = \pm 1, 0. \quad (24)$$

这里要强调的是, 上面讨论的手征振幅中, 在费曼图上, 动量 $k^{(i)}$ ($i = 1, 2, 3, 4$) 都是入射的。当要计算衰变宽度或散射截面时, 这些动量必须根据具体过程做相应的改变: 如果一个粒子在实际物理过程中是入射的, 那么它相应的动量 $k^{(i)}$ 将保持不变; 比如 $Z \rightarrow 3\gamma$ 衰变中的 Z 介子动量 $k^{(4)}$ 将保持不变。如果一个粒子在实际物理过程中是出射的, 那么它相应的动量 $k^{(i)}$ 将整体改变一个负号; 这里“整体”的意思是能量、动量都要改变, 即 $k^{(i)} = (k^{(i)0}, k^{(i)}) \rightarrow -k^{(i)} = (-k^{(i)0}, -k^{(i)})$, 比如 $Z \rightarrow 3\gamma$ 衰变中 3 个光子的动量 $k^{(i)}$ 将整体变号。

根据文献[14], $\gamma\gamma \rightarrow \gamma Z$ 散射过程的微分截面为

$$d\sigma = \frac{1}{128\pi^2} \frac{2w_1 - w_2}{w_1^2 w_2} |m|^2 d\Omega,$$

$$m = \frac{1}{4} \sum_{\lambda_1 \lambda_2 \lambda_3 \lambda_4} M_{\lambda_1 \lambda_2 \lambda_3 \lambda_4}^{\gamma\gamma \rightarrow \gamma Z},$$

其中 w_1 和 w_2 分别为入射光子和出射光子的能量, 经初步估算, W 玻色子圈图对该过程的贡献, 在 $\sqrt{s} = 750$ GeV 处大约为 200 fb, 比光子光子散射过程的截面还要大四倍。费米子圈图的贡献还在计算中。

参考文献(References)

- 1 Baier V N, Kurayev E A, Fadin V S. Sov. J. Nucl. Phys., 1980, **31**: 364; Laursen M L, Mikaelian K O, Samuel M A. Phys. Rev., 1981, **D13**: 2795
- 2 Glover E W N, Vander Bji J. Nucl. Phys., 1989, **B313**: 237
- 3 DONG F X, JIANG X D, ZHOU X J. Phys. Rev., 1992, **D46**: 5074
- 4 JIANG X D, ZHOU X J. Phys. Rev., 1993, **D47**: 214
- 5 DONG F X, JIANG X D, ZHOU X J. Phys. Rev., 1993, **D47**: 5169
- 6 DONG F X, JIANG X D, ZHOU X J. Journal of Physics Nucl. Part. Phys., 1993, **G19**: 969
- 7 YANG M Z, ZHOU X J. Phys. Rev., 1995, **D52**: 5018
- 8 Jikia G, Tkabladze A. Phys. Lett., 1994, **B323**: 453
- 9 YANG M Z, ZHOU X J. Commun. Theor. Phys., 1997, **27**: 125
- 10 Boudjema F. Phys. Lett., 1987, **B187**: 362
- 11 Costantini V, Detollis B, Pistoni G. Nuovo Cimento, 1971, **A2**: 733
- 12 Glover E W N, Morgan A G. Z. Phys., 1993, **C60**: 175.
- 13 Lee T D. Particle Physics and Introduction to Field Theory. Beijing: Science Press, 1981. 108
- 14 Bjorken D, Drell D. Relativistic Quantum Fields, Published by McGraw-Hill Book Company, 1965

Analytical Helicity Amplitudes for $Z \rightarrow 3\gamma$ and It's Related Processes and Discussion of Polarization Vectors^{*}

GOU Liang DONG FangXiao ZHOU XianJian

(Institute of High Energy Physics, CAS, Beijing 100039, China)

Abstract The analytical helicity amplitudes for $Z \rightarrow 3\gamma$ and it's related processes via w-loop and charged scalar loop are presented. There are some differences between our results and those in Glover paper for $Z \rightarrow 3\gamma$ via w-loop and fermion loop. Although these differences do not contradict the result of total decay width for $Z \rightarrow 3\gamma$, but the different helicity amplitudes have measurable physical meanings. We discuss the definition of polarization vector and point out the error of Glover paper.

Key words helicity amplitude, polarization vector, standard model

Received 31 May 1999, Revised 28 April 2000

* Supported by National Natural Science Foundation of China (19875057)